

名古屋大学 正会員 松尾 稔
 不動建設 正会員 ○原原 正彦
 名古屋大学 学生会員 上野 誠

はじめに斜面への降雨の浸透が、その初期には鉛直下方に不飽和状態で進むことはよく知られている。降雨による斜面前縁の機構が明確にするために、この鉛直浸透の段階での斜面状態の変化についても考慮しなければならない。本研究では、降雨の鉛直浸透による斜面の水位状態の変化に伴って、斜面を構成する土質の強度が低下し、同時に自重が増大することにより斜面の安定性が変化するとしている。ところで、鉛直浸透は浸潤前線の進行という現象を伴うものであり、前線の通過後の水位状態が何時も一樣とは二つの、浸透実験の研究によって明らかにされている。それ故、斜面安定度の遷移過程を議論する場合、浸潤前線の進行に関する明確な知識が必要となる。そこで本研究では、前線の進行に着目して実験的に浸透現象を解明し、浸透に伴う斜面安定度の変化を明確にしようとした。その際に浸透に影響を与える要因をいくつか設定し、その要因に対応して浸透がどのように進行されるかを明らかにするために要因実験を行った。実験から得られる情報のうちで最も重要なものの前線の進行に関するものであるので、本研究では設定した要因と前線の進行との関係を式化せらるには斜面安定度の経時的変化を各要因によって式化することを目的としている。

浸潤前線の進行：鉛直浸透実験は深さ1.0mのアクリル製円筒に土をつめ、上部より市販のノズルによって雨を降らせて実験し、外から前線の進行が観察できるようにした。要因として、土の間げ玉比、降雨型、下部境界条件の3種を考えた。間げ玉比を0.6, 0.8, 1.0の3レベル、降雨型はA, B型(図-1)の2レベル、下部境界条件は不透水層のある場合とない場合の2レベルを採用した。したがって、各要因の組合せは3×2×2=12種類となる。実験では特に前線の進行に注目した。

Philip K. によれば、半無限鉛直土柱への累積浸透量は時刻tまで

$$i(t) = S \chi^{\frac{1}{2}} + A \chi \quad \dots \dots \textcircled{1}$$

となる。ここでS, Aは飽和度に依存する係数である。地表面と前線の間の飽和度はほぼ一様になるのでこれをSとし、初期飽和度をSwiとすると、時刻tまでの前線の深さは、

$$z_s = i(t) / n \cdot (S_w - S_{wi}) \quad \dots \dots \textcircled{2}$$

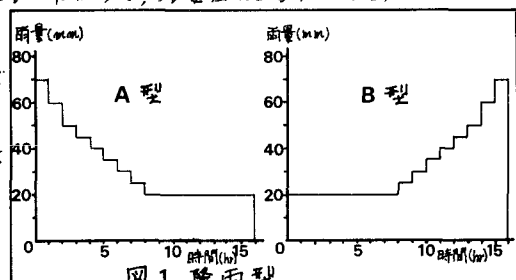
となる。ここにnは間げ玉率である。式を②式に代入し式を簡単にするば、次の③式のようになる。

$$z_s = a \chi^{\frac{1}{2}} + b \cdot t \quad \dots \dots \textcircled{3}$$

実験から得られるのは(zs, t)の値なので、実験値が③式で表わされる関係を持つと考へ、最小二乗法によて2つの係数a, bを決定すればよい。各要因の組合せに対応するa, bの値を求めたのが表-1である。次にa, bの値に対する要因の影響を線形式で式化する場合、間げ玉比と土量的な要因、降雨型、下部境界条件は定性的な要因なので、解析にはダニーラー法を用いる。この結果、間げ玉比をx, 降雨型をR, 下部境界条件をBと表示する、a, bは次式で表わされるようになる。

$$a = 3.73 + 9.33x + 3.40R - 4.99R \quad \dots \dots \textcircled{4}$$

$$b = -13.60 + 29.18x - 0.18R + 1.40R \quad \dots \dots \textcircled{5}$$



aの値	表 1			
	不透水層あり		不透水層なし	
間げ玉比	A型	B型	A型	B型
1.0	2.69	27.00	11.83	7.24
0.8	3.94	19.87	12.30	5.98
0.6	6.07	12.96	10.53	4.28

bの値	表 1			
	不透水層あり		不透水層なし	
間げ玉比	A型	B型	A型	B型
1.0	22.31	10.84	14.39	22.06
0.8	18.51	9.24	9.31	7.81
0.6	6.05	1.22	2.36	6.66

④, ⑤式において、 e は値をそのまま代入すればよいが、 R は降雨量がA型のとき $R=1$, B型のときには $R=0$ とし、B型についても不透水層があるとき $B=1$, ないとき $B=0$ とすればよい。 α の値に関しては各要因の偏相関係数が低い(0.4~0.5)ので、要因の効果が強いとはいえないが、 β の値に関しては各要因とも効果が大きい(偏相関係数は0.8程度)。また④, ⑤式によれば、間げ玉比との係数が他の要因に比べて大きいので、斜面への降雨浸透に対する間げ玉比の影響が顕著であることが分かる。このように、各要因によって α を表示すると、

$$Z_f = (3.73 + 9.33e + 3.40B - 4.99R)t^{\frac{1}{2}} + (-13.60 + 29.18e - 0.18B + 1.40R)t \quad \dots \text{⑥}$$

とする。要因数、要因の水準数が少ないので⑥式によって前線の進行が完全に記述されるとは思われないが、さらにデータを増やすれば正確な実験式が得られるであろう。ある斜面における降雨浸透を考慮する場合には⑥式の型の実験式に、関連する要因の値を代入すれば前線の進行が予測できるわけである。

斜面安定度の遷移過程：降雨浸透に伴って斜面の安定度が低下するということは十分推察されるが、低下の度合を定量的に表現した例はほとんどない。本研究では、工の強度低下、自重の増大という2つの因子が斜面安定度の低下に関与するものと考えている。実際現象でこの2因子のみで説明しえるものではないが、この2因子が斜面安定度にどう関連していくかを考えるのは可能であろう。浸透実験と同じ工を用いて別途に一面せん断試験を実施して、水分状態の変化に対する工の強度低下の特性を求めている。安定解析には円弧すべり面法を適用する。解析に用いたモデル斜面は図-2に示すように、表層厚1.0m、傾斜角45°、斜面長60mとする。また解析において⑥式で表わされる α ～ β 関係により、前線上部では浸透時の飽和度 S_{w1} に対応する土質諸係数を、前線下部では初期の飽和度 S_{wi} に対応する土質諸係数を用いた。安定解析から得られた安全率と時間の関係は次のように整理する。すなわち、時間までの安全率を $F_{st}(t)/F_{si}$ 、初期を安全率 F_{si} 、表層厚を D として $F_{st}(t)/F_{si} \sim Z_f/D$ の関係で表わしたもののが図-3である。この図より $F_{st}(t)/F_{si} \sim Z_f/D$ に直線的関係が見出され、 $t=0$ において $F_{st}(t)=F_{si}$ だから、 $F_{st}(t)/F_{si} \sim Z_f/D$ は次のようく表わされる。

$$F_{st}(t)/F_{si} = 1 - \alpha \cdot Z_f/D \quad \dots \text{⑦}$$

係数 α は間げ玉比の影響を強く受ける。これは土質諸係数、とくにすべり層の浅い斜面の走行大きく効いている見かけの粘着力の水分状態による変化が、間げ玉比によって一様でないためである。すなわち、 $e=1.0$ では浸透前の強度変化が著しく、 $e=0.6$ でもよりの強度低下を示すが、 $e=0.8$ ではほとんど変化しないために、影響が e の値に反映されたのである。そこで e はこの関数に沿うと考えたが、各間げ玉比における強度の遷移特性を考慮して α と e の2次式で表わした。その結果が次の⑧式である。

$$\alpha = 5.14e^2 - 8.51e + 3.55 \quad \dots \text{⑧}$$

以上、各要因の効果を考えて表現した斜面安定度の経時的遷移過程は、次の⑨式のようになる。

$$F_{st}(t) = F_{si} - (5.14e^2 - 8.51e + 3.55) + (3.73 + 9.33e + 3.40B - 4.99R)t^{\frac{1}{2}} + (-13.60 + 29.18e - 0.18B + 1.40R)t/F_{si}/D \quad \dots \text{⑨}$$

したがって、ある斜面に関する各要因と初期を安全率が分かれれば、時間までの安全率は⑨式から推測できる。

あとがき：本研究では3種の要因と、要因水準を2, 3レベルにして、斜面安定度の経時的變化を一元差式化したのであるが、要因の数および水準数が少ないので精度的には問題点が残る。今後はこの報告の方向で、要因数、水準数を増加させることによって、斜面安定度の経時的变化をより正確に定式化を試みてほしい。

参考文献；J.R.Philip ; Theory of Infiltration ; Advances in Hydroscience Vol 5

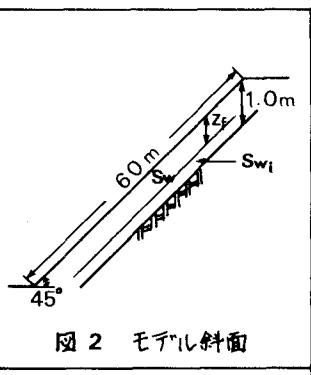


図2 モデル斜面

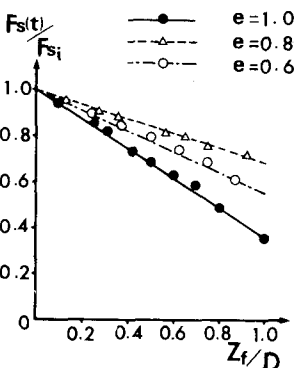


図3 $F_{st}(t)/F_{si} \sim Z_f/D$ 関係